







Analyse de code binaire contre les attaques en faute Workshop PROSECCO

06-11-18

Jean-Baptiste Bréjon

Encadrement:

Emmanuelle Encrenaz Karine Heydemann Quentin Meunier

Introduction

Objectif : évaluer la robustesse d'une zone de code binaire vis-à-vis d'attaques en faute

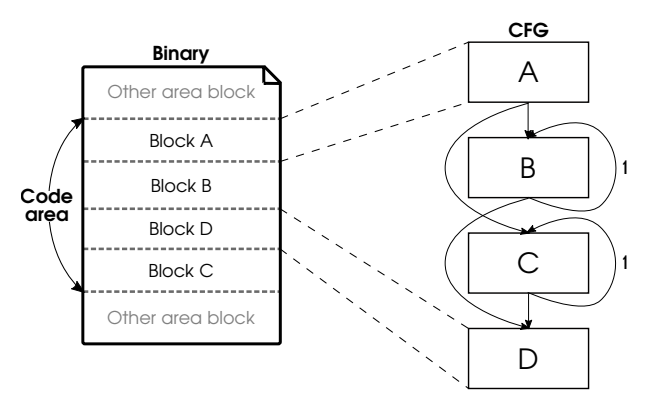
- Code binaire
 - → permet de prendre en compte les effets du compilateur sur les protections implémentées au niveau du code source
 - → accès au placement de code
- Vérification formelle → Modélisation du code et des fautes
- Approche implémentée dans un outil → RobustB
- 2 modèles de fautes supportés
 - Saut d'instruction
 - Corruption de registre

Vue d'ensemble de la méthode d'analyse



- 1 Extraction d'une représentation de la zone à analyser
- 2 Détermination des chemins d'exécution possibles
- 3 Injection de faute simple (corruption de registre, saut d'instruction) sur les chemins d'exécution possibles
- 4 Recherche de vulnérabilités par vérification formelle d'une propriété de non-équivalence (SMT)
 - Satisfiable → la faute a induit une vulnérabilité
 - Insatisfiable → la faute n'a pas eu d'effet
- ⇒ Liste de vulnérabilités avec leurs localisations

Extraction d'informations depuis le binaire



Analyse statique

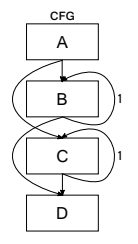
Construction du CFG + ordre des blocs

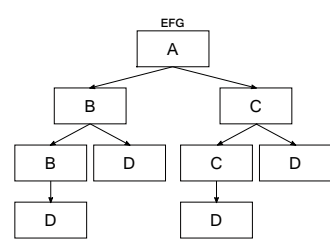
Analyse dynamique/symbolique

- Extraction des contextes d'exécutions de la zone à analyser
- Extraction des bornes des boucles de la zone à analyser

Détermination des chemins d'exécution possibles

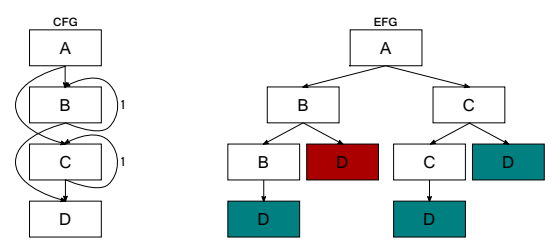
Déroulage structurel borné du CFG



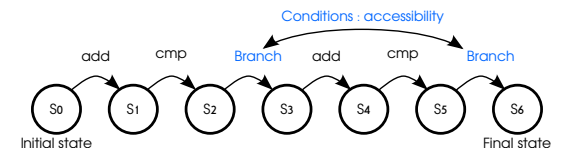


Détermination des chemins d'exécution possibles

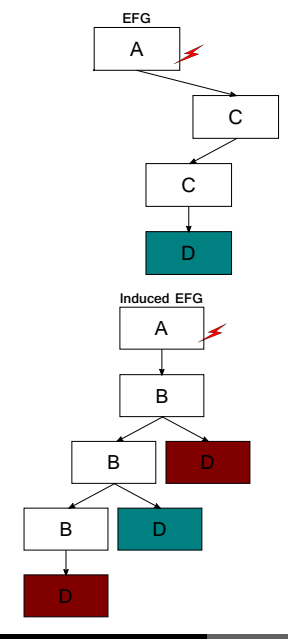
Déroulage structurel borné du CFG

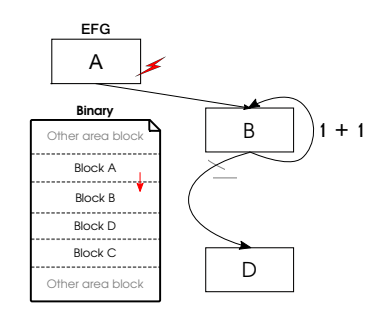


- Test de l'accessibilité des chemins d'exécution résultants (SMT) :
 - ightarrow Modélisation de chaque instruction par leur effet sur une modélisation d'un état de la machine



Détermination des chemins d'exécution fautés

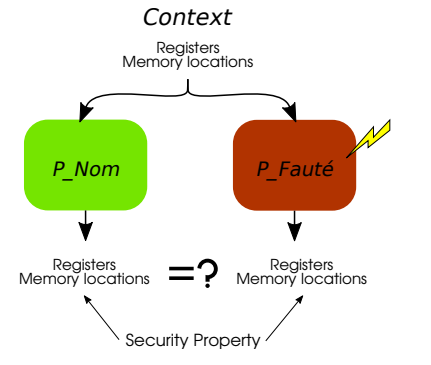




- Faute → déviation du chemin nominal
- Re-calcul des chemins d'exécution possibles après injection
- Déroulage du CFG après la faute :
 - Prise en compte du placement de code
 - Relâchement des contraintes de déroulage
- Accessibilité des chemins d'exécution calculés

Analyse de robustesse

- P Nom → chemin d'exécution nominal
- P Fauté → chemin d'exécution possible après une faute



- Même contexte de départ
- Une vulnérabilité est détectée si les valeurs finales d'éléments mémorisant diffèrent au point d'analyse
- Formule:

 $Access(P_Nom) \land Access(P_Fauté) \land Vuln$

ightarrow **SAT** : La faute dans P_Fauté induit une vulnérabilité

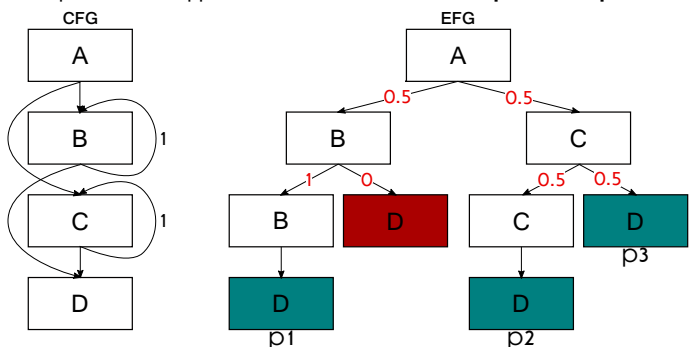
- Ex. de vulnérabilité : saut de l'instruction @x du bloc y sur le chemin d'exécution z
- La répétition de ce processus pour toutes les fautes sur les points d'injection produit une liste de vulnérabilités

Synthèse des résultats

- Les vulnérabilités sont difficiles à analyser
 - Niveau de dangerosité des vulnérabilités trouvées ?
 - Comment comparer les vulnérabilités de 2 codes similaires ?
- Besoin d'une vue synthétique
- Proposition de 3 métriques
 - Degré de sensibilité d'une instruction
 - Score global du programme
 - Densité des vulnérabilités

Déroulage du CFG et probabilités des chemins

ldée : une vulnérabilité apparaissant dans un chemin **rarement pris** est **moins importante** qu'une autre apparaissant dans un chemin **fréquemment pris**.



- Choix par défaut : équiprobabilité des chemins issus d'un branchement
- Idéalement : l'utilisateur définit les probabilités des branchements

Chemin	Blocs	P(chemin)
p1	A - B - B - D	0.5
p2	A - C - C - D	0.25
р3	A - C - D	0.25

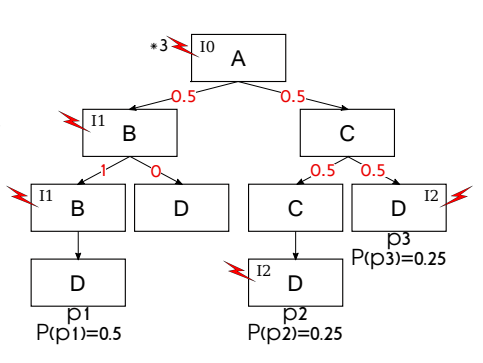
Sensibilité d'une instruction (IS)

IS(i) = score reflétant la sensibilité de l'instruction i

$$IS(i) = \sum_{p \in Paths} P(p \text{ is taken}) \times NV_i(p)$$

 $NV_i(p)$: #Vulnerabilités pour l'instruction i sur le chemin p

Inst	Score
I0	1 = P(p1) + P(p2) + P(p3)
I1	1 = 2 * P(p1)
12	0.5 = P(p2) + P(p3)



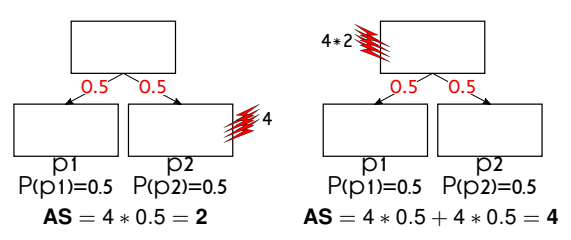
Permet l'identification des instructions à protéger en priorité

Surface d'attaque (AS)

AS = nombre moyen de vulnérabilités sur un chemin d'exécution.

$$AS = \sum_{p \in \textit{Paths}} P(p \textit{ is taken}) \times \textit{NV}(p)$$

NV(p): #Vulnerabilités sur le chemin p



2 vulnérabilités en moyenne par chemin

4 vulnérabilités en moyenne par chemin

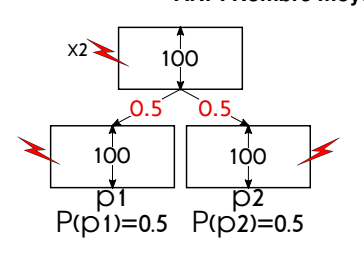
Plus la **surface d'attaque** est **élevée**, plus l'attaquant aura de **possibilités** d'injecter une faute aboutissant une **vulnérabilité**

Surface d'attaque normalisée (NAS)

NAS = Densité moyenne des vulnérabilités

$$\textit{NAS} = \frac{\textit{AS}}{\sum_{\textit{p} \in \textit{Paths}} \textit{P(p is taken)} \times \textit{NI(p)}} = \frac{\textit{AS}}{\textit{ANI}}$$

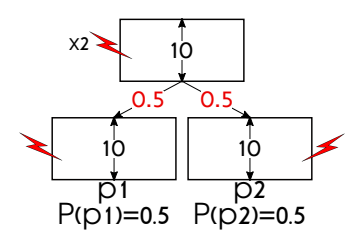
NI(p): #Instructions sur le chemin pANI: Nombre moyen d'instruction par chemin



$$AS = 2 * 0.5 + 2 * 0.5 = 2$$

NAS = $2/(100 + 100) =$ **0.01**

1% de chance qu'une injection de faute au hasard induise une vulnérabilité



$$AS = 2 * 0.5 + 2 * 0.5 = 2$$

$$NAS = 2/(10 + 10) = 0.1$$

10% de chance qu'une injection de faute au hasard induise une vulnérabilité

Use-case: VerifyPin

Description

- Appartient aux benchmarks FISSC(Fault Injection and Simulation Secure code Collection), dédiés à l'analyse d'injection de fautes
- Comparaison d'un PIN utilisateur avec un PIN prédéfini
 - Authentification "OK" si les PIN sont identiques, "KO" sinon
- Plusieurs versions du benchmark incluant différentes combinaisons de protections implémentées au niveau source

Analyse

- 4 versions : 1 version non-protégée, 3 versions protégées
- Deux niveaux d'optimisation, O0 et O2
- Modèle de faute : saut d'instruction
- Propriété : PIN entré faux et authentification "OK"

■ Vulns : nombre de vulnérabilités brutes

■ ANI : nombre moyen d'instructions par chemin

Version	Opt level	#Vulns	AS	NAS	ANI
VerifyPin₀	00	96	18.37	0.25	73.9
vernyi ino	O2	54	10.38	0.41	25.3
VerifyPin ₄	00	127	7.75	0.05	149.1
	02	28	26	0.71	49
VerifyPin ₅	00	15	1	0.01	124.2
	O2	8	8	0.17	48
VerifyPin ₇	00	67	4.75	0.03	180.1
	O2	24	24	0.48	50

- Version la moins vulnérable (au sens des métriques AS et NAS) VerifyPin₅ O0
- Remarque: NAS est systématiquement plus élevée dans les versions O2 que dans les versions O0, contrairement au nombre de vulnérabilités brutes
- VerifyPin₀ : surface d'attaque ↑ pour O0 mais densité des vulnérabilités ↑ pour O2
 - → version O0 plus vulnérable face à un attaquant qui sait où attaquer
 - ightarrow version O2 plus vulnérable face à un attaquant qui tire aléatoirement dans le temps

- Vulns : nombre de vulnérabilités brutes
- ANI : nombre moyen d'instructions par chemin

Version	Opt level	#Vulns	AS	NAS	ANI
VerifyPin₀	00	96	18.37	0.25	73.9
vernyi ino	O2	54	10.38	0.41	25.3
VerifyPin₄	00	127	7.75	0.05	149.1
verilyFili4	02	28	26	0.71	49
VerifyPin ₅	00	15	1	0.01	124.2
	O2	8	8	0.17	48
VerifyPin ₇	00	67	4.75	0.03	180.1
	O2	24	24	0.48	50

- Version la moins vulnérable (au sens des métriques AS et NAS) VerifyPin₅ O0
- Remarque: NAS est systématiquement plus élevée dans les versions O2 que dans les versions O0, contrairement au nombre de vulnérabilités brutes
- VerifyPin₀ : surface d'attaque ↑ pour O0 mais densité des vulnérabilités ↑ pour O2
 - ightarrow version O0 plus vulnérable face à un attaquant qui sait où attaquer
 - ightarrow version O2 plus vulnérable face à un attaquant qui tire aléatoirement dans le temps

- Vulns : nombre de vulnérabilités brutes
- ANI : nombre moyen d'instructions par chemin

Version	Opt level	#Vulns	AS	NAS	ANI
VerifyPin₀	00	96	18.37	0.25	73.9
vernyi ino	O2	54	10.38	0.41	25.3
VerifyPin ₄	00	127	7.75	0.05	149.1
	02	28	26	0.71	49
VerifyPin ₅	00	15	1	0.01	124.2
	O2	8	8	0.17	48
VerifyPin ₇	00	67	4.75	0.03	180.1
	O2	24	24	0.48	50

- Version la moins vulnérable (au sens des métriques AS et NAS) VerifyPin₅ O0
- Remarque: NAS est systématiquement plus élevée dans les versions O2 que dans les versions O0, contrairement au nombre de vulnérabilités brutes
- VerifyPin₀ : surface d'attaque ↑ pour O0 mais densité des vulnérabilités ↑ pour O2
 - ightarrow version O0 plus vulnérable face à un attaquant qui sait où attaquer
 - ightarrow version O2 plus vulnérable face à un attaquant qui tire aléatoirement dans le temps

- Vulns : nombre de vulnérabilités brutes
- ANI : nombre moyen d'instructions par chemin

Version	Opt level	#Vulns	AS	NAS	ANI
VerifyPin₀	00	96	18.37	0.25	73.9
verilyi iii ₀	O2	54	10.38	0.41	25.3
VerifyPin₄	00	127	7.75	0.05	149.1
verilyFili4	02	28	26	0.71	49
VerifyPin ₅	00	15	1	0.01	124.2
	O2	8	8	0.17	48
VerifyPin ₇	00	67	4.75	0.03	180.1
verilyFili7	O2	24	24	0.48	50

- Version la moins vulnérable (au sens des métriques AS et NAS) VerifyPin₅ O0
- Remarque: NAS est systématiquement plus élevée dans les versions O2 que dans les versions O0, contrairement au nombre de vulnérabilités brutes
- VerifyPin₀ : surface d'attaque ↑ pour O0 mais densité des vulnérabilités ↑ pour O2
 - ightarrow version O0 plus vulnérable face à un attaquant qui sait où attaquer
 - ightarrow version O2 plus vulnérable face à un attaquant qui tire aléatoirement dans le temps

■ Vulns : nombre de vulnérabilités brutes

■ ANI : nombre moyen d'instructions par chemin

Version	Opt level	#Vulns	AS	NAS	ANI
VerifyPin₀	00	96	18.37	0.25	73.9
vernyi ino	O2	54	10.38	0.41	25.3
VerifyPin₄	00	127	7.75	0.05	149.1
vernyrin ₄	02	28	26	0.71	49
VerifyPin ₅	00	15	1	0.01	124.2
	O2	8	8	0.17	48
VerifyPin ₇	00	67	4.75	0.03	180.1
vernyrin ₇	O2	24	24	0.48	50

- Version la moins vulnérable (au sens des métriques AS et NAS) VerifyPin₅ O0
- Remarque: NAS est systématiquement plus élevée dans les versions O2 que dans les versions O0, contrairement au nombre de vulnérabilités brutes
- VerifyPin₀ : surface d'attaque ↑ pour O0 mais densité des vulnérabilités ↑ pour O2
 - ightarrow version O0 plus vulnérable face à un attaquant qui sait où attaquer
 - ightarrow version O2 plus vulnérable face à un attaquant qui tire aléatoirement dans le temps

- Vulns : nombre de vulnérabilités brutes
- ANI : nombre moyen d'instructions par chemin

Version	Opt level	#Vulns	AS	NAS	ANI
VerifyPin₀	00	96	18.37	0.25	73.9
verilyi iii ₀	O2	54	10.38	0.41	25.3
VerifyPin₄	00	127	7.75	0.05	149.1
verilyFili4	02	28	26	0.71	49
VerifyPin ₅	O0	15	1	0.01	124.2
	02	8	8	0.17	48
VerifyPin ₇	00	67	4.75	0.03	180.1
verilyFili7	02	24	24	0.48	50

- Version la moins vulnérable (au sens des métriques AS et NAS) VerifyPin₅ O0
- Remarque: NAS est systématiquement plus élevée dans les versions O2 que dans les versions O0, contrairement au nombre de vulnérabilités brutes
- VerifyPin₀ : surface d'attaque ↑ pour O0 mais densité des vulnérabilités ↑ pour O2
 - → version O0 plus vulnérable face à un attaquant qui sait où attaquer
 - ightarrow version O2 plus vulnérable face à un attaquant qui tire aléatoirement dans le temps

■ Vulns : nombre de vulnérabilités brutes

■ ANI : nombre moyen d'instructions par chemin

Version	Opt level	#Vulns	AS	NAS	ANI
VerifyPin ₀	00	96	18.37	0.25	73.9
vernyi ino	O2	54	10.38	0.41	25.3
VerifyPin ₄	00	127	7.75	0.05	149.1
verilyFili4	02	28	26	0.71	49
VerifyPin ₅	00	15	1	0.01	124.2
verilyFili5	O2	8	8	0.17	48
VerifyPin ₇	00	67	4.75	0.03	180.1
vernyrin ₇	O2	24	24	0.48	50

- Version la moins vulnérable (au sens des métriques AS et NAS) VerifyPin₅ O0
- Remarque: NAS est systématiquement plus élevée dans les versions O2 que dans les versions O0, contrairement au nombre de vulnérabilités brutes
- VerifyPin₀ : surface d'attaque ↑ pour O0 mais densité des vulnérabilités ↑ pour O2
 - → version O0 plus vulnérable face à un attaquant qui sait où attaquer
 - ightarrow version O2 plus vulnérable face à un attaquant qui tire aléatoirement dans le temps

- Vulns : nombre de vulnérabilités brutes
- ANI : nombre moyen d'instructions par chemin

Version	Opt level	#Vulns	AS	NAS	ANI
VerifyPin ₀	00	96	18.37	0.25	73.9
vernyi ino	O2	54	10.38	0.41	25.3
VerifyPin ₄	00	127	7.75	0.05	149.1
	O2	28	26	0.71	49
VerifyPin ₅	00	15	1	0.01	124.2
	O2	8	8	0.17	48
VerifyPin ₇	00	67	4.75	0.03	180.1
vernyrin ₇	O2	24	24	0.48	50

- Version la moins vulnérable (au sens des métriques AS et NAS) VerifyPin₅ O0
- Remarque: NAS est systématiquement plus élevée dans les versions O2 que dans les versions O0, contrairement au nombre de vulnérabilités brutes
- VerifyPin₀ : surface d'attaque ↑ pour O0 mais densité des vulnérabilités ↑ pour O2
 - ightarrow version O0 plus vulnérable face à un attaquant qui sait où attaquer
 - ightarrow version O2 plus vulnérable face à un attaquant qui tire aléatoirement dans le temps

Autres analyses réalisées

Différents cas d'utilisation

- Algorithme PRESENT → placement de code
- Code système FreeRTOS
- Protection de boucle → memcpy
 - protégé à la compilation
 - protégé au niveau du code source

AES sécurisé avec le compilateur PROSECCO (en cours)

Performance de l'outil

- Parallèlisation → les problèmes SMT sont lancés en parallèle
- Analyses réalisées sur une machine de 20 processeurs Intel Xeon Silver 4114 (2.20GHz), Hyper-threading ×2

VerifyPin

- VerifyPin₀ O2 → 3m
- VerifyPin₇ O0 → 13h
- → taille du code, nombre d'accès mémoire, nombre de chemins d'exécution

Schéma de protection de boucle appliqué à un memcpy

- ~1000 corruptions de registre → 1h20
- ~700 saut d'instruction → 20m
- → Le nombre de variables libres influe sur la rapidité de l'analyse

Conclusion

 Un outil permettant d'analyser des portions de code binaire contre des fautes simples

Avantages

- Automatique (sauf pour la propriété → travaux de Vu Son Tuan)
- Vérification formelle
- Analyse en contexte
- SMT → exhaustivité (corruption de registres)

Limitations

- Petites portions de code
- Multiples fautes
- La rapidité de l'analyse dépend du nombre de chemins possibles ainsi que du nombre d'accès mémoire

Merci de votre attention!